

# 6° Práctica de Cálculo por Elementos Finitos - MC516

Josue Huaroto Villavicencio - 20174070I

Sección: E

20 de septiembre de 2020

## 1 Ejecución del código

Similar al código usado para las coordenadas y ángulos en una armadura plana, para la estructura del bastidor es necesario modificar la función de rigidez del elemento y la unión de estas matrices.

### Código 1: Ensamble de la matriz de rigidez

```
1 def ElementStiffness(l,angle,A,I):
2     w = [A*np.cos(angle)**2+12*I*np.sin(angle)**2/(l*l),
3           A*np.sin(angle)**2+12*I*np.cos(angle)**2/(l*l),
4           (A-12*I/(l*l))*np.cos(angle)*np.sin(angle),
5           6*I*np.sin(angle)/l,
6           6*I*np.cos(angle)/l]
7     aux = [[w[0],w[2],-w[3],-w[0],-w[2],-w[3]],
8            [w[2],w[1],w[4],-w[2],-w[1],w[4]],
9            [-w[3],w[4],4*I,w[3],-w[4],2*I],
10           [-w[0],-w[2],w[3],w[0],w[2],w[3]],
11           [-w[2],-w[1],-w[4],w[2],w[1],-w[4]],
12           [-w[3],w[4],2*I,w[3],-w[4],4*I]]
13     aux = np.array(aux)
14     aux = aux*E/l
15     return aux
16
17 def AssemblyStiffness(nStiffnessMatrix,k,i,j):
18     for p in range(0,3):
19         for m in range(0,3):
20             nStiffnessMatrix[3*i+p][3*i+m] += k[p][m]
21             nStiffnessMatrix[3*i+p][3*j+m] += k[p][3+m]
22             nStiffnessMatrix[3*j+p][3*i+m] += k[p+3][m]
23             nStiffnessMatrix[3*j+p][3*j+m] += k[p+3][3+m]
```

Todos los demás elementos del código permanecen igual; ahora solo se necesita definir las condiciones del problema a resolver.

### Código 2: Condiciones del problema

```
1 NodesCondition = []
2 Nodes = 5
3 Nodes *= 3
4 NumberOfElement = 6
5 n = 12
6
7 Nodes = Nodes+3*(n-2)*NumberOfElement
8 NumberOfElement *= (n-1)
9
10 h = 1500 #mm
11 E = 3.2e5 #MPa
12 K = []
13 A = (0.25*np.pi*(50)**2) #mm2
14 I = (np.pi*50**4)/64 #mm4
15 L = []
```

```

16 P_A = 5000 #N
17 P_B = 4200 #N
18 P_C = 2500 #N
19 P_E = 3000 #N
20
21 PosNodes = []
22 Elements = []
23
24 for i in range(0,n):
25     PosNodes.append((i*h/(n-1),0))
26 for i in range(1,n):
27     PosNodes.append((h,i*h/(n-1)))
28 for i in range(1,n):
29     PosNodes.append((h-i*h/(n-1),h))
30 for i in range(1,n-1):
31     PosNodes.append((i*h/(n-1),h-i*h/(n-1)))
32 for i in range(1,n):
33     PosNodes.append((h+i*h/(n-1),h))
34 for i in range(1,n-1):
35     PosNodes.append((2*h-i*h/(n-1),h-i*h/(n-1)))
36
37 for i in range(0,4*n-5):
38     Elements.append((i,i+1))
39 Elements.append((4*n-5,n-1))
40 Elements.append((2*n-2,4*n-4))
41 for i in range(4*n-4,6*n-8):
42     Elements.append((i,i+1))
43 Elements.append((6*n-8,n-1))
44
45 PosNodes = np.array(PosNodes)
46 Elements = np.array(Elements)
47 for i in range(0,NumberOfElement):
48     L.append(DistNodes(PosNodes[Elements[i][0]],PosNodes[Elements[i][1]]))
49 L = np.array(L)
50
51 for i in range(0,NumberOfElement):
52     K.append(ElementStiffness(L[i][0],L[i][1],A,I))
53
54 StiffnessMatrix = np.zeros((Nodes,Nodes))
55
56 U = np.zeros(Nodes).reshape(Nodes,1)
57 F = np.zeros(Nodes).reshape(Nodes,1)
58
59 Initialize(StiffnessMatrix,U,F)
60
61 #Node in UBoundary = Node*3+(x=0,y=1,theta=2)
62 UBoundaryCondition(U,0,3*0+0) #Node 0 en X
63 UBoundaryCondition(U,0,3*0+1) #Node 0 en Y
64 UBoundaryCondition(U,0,3*0+2) #Node 0 en theta
65 UBoundaryCondition(U,0,3*(3*n-3)+0) #Node 1 en X
66 UBoundaryCondition(U,0,3*(3*n-3)+1) #Node 1 en Y
67 UBoundaryCondition(U,0,3*(3*n-3)+2) #Node 1 en theta
68
69 FBoundaryCondition(F,-P_C,3*(n-1)+1) #Node 2 en Y
70 FBoundaryCondition(F,-P_E,3*(2*n-2)+1) #Node 3 en Y
71 FBoundaryCondition(F,-P_B,3*(5*n-6)+1) #Node 4 en Y
72 FBoundaryCondition(F,P_A,3*(5*n-6)+0) #Node 4 en X
73
74 U,F=Solve(StiffnessMatrix,U,F)
75 print("Stiffness Matrix:\n",StiffnessMatrix,'\n')
76 print("Displacements:\n",U,'\n')
77 print("\nForces:\n",F)

```

## 2 Resultados del problema

Al finalizar la ejecución del solver, obtenemos la matriz de rigidez:

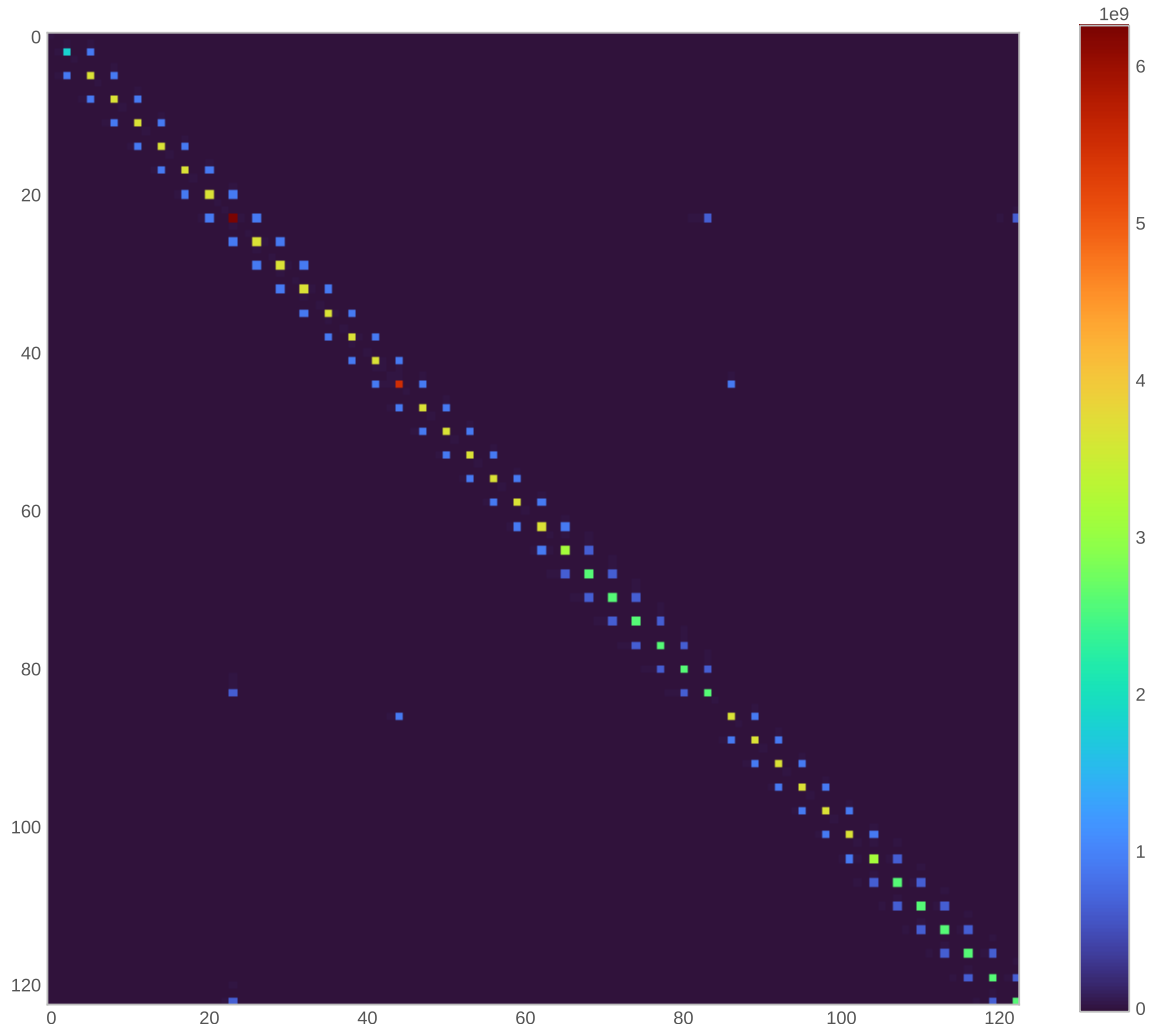


Figura 1: Matriz de rigidez

Se observa que la mayor parte de los elementos son iguales a 0 y que la matriz es completamente simétrica. Estas características especiales de la matriz de rigidez nos permiten utilizar el método del gradiente conjugado para acelerar la solución del problema.

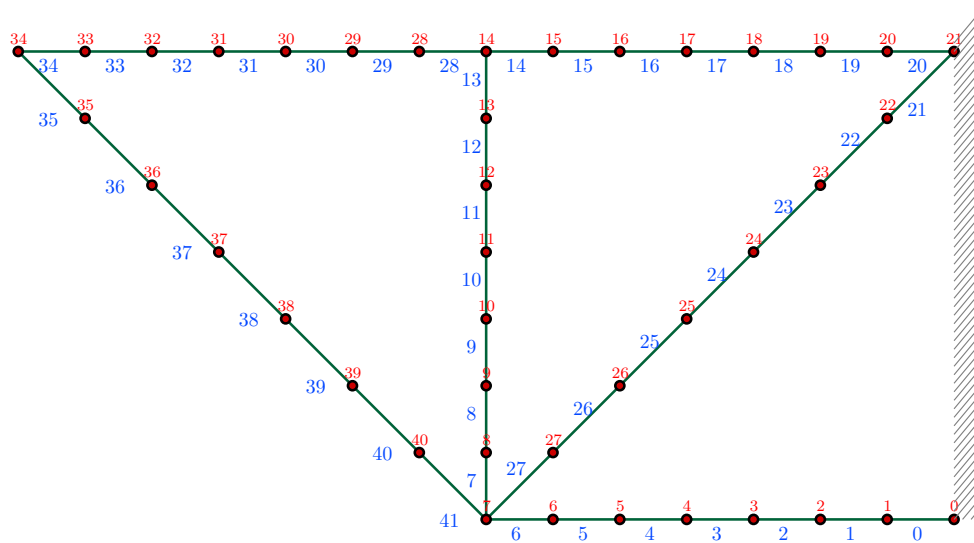


Figura 2: Representación esquemática

Los nodos se representan en figura de color rojo y los elementos de color azul.

Cada desplazamiento y fuerza corresponde a un nodo en una dirección ( $x$ ,  $y$  o  $\theta$ ); por lo que al nodo  $i$  le corresponde las reacciones  $3i$  ( $x$ ),  $3i+1$  ( $y$ ) y  $3i+2$  ( $\theta$ ). Se organiza los datos del desplazamiento y fuerza en cada dirección en una tabla para cada nodo para tener una mejor comprensión de los resultados:

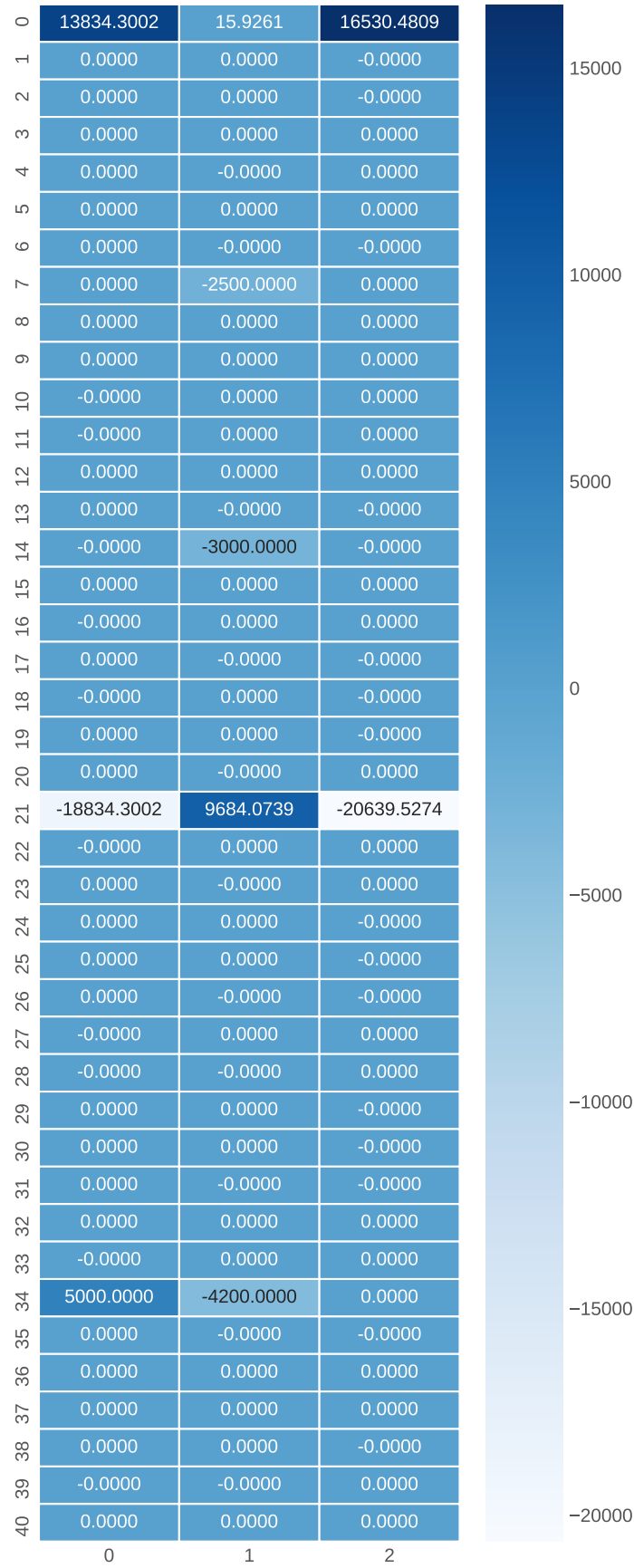


Figura 3: Reacciones en los nodos

Los nodos 0 y 21 son los nodos de apoyo, de la Figura 1, notamos que las reacciones son  $F_0 = [13834.3002, 15.9261]$  N,  $M_0 = 16530.4809$  N-m,  $F_{21} = [-18834.3002, 9684.0739]$ ,  $M_{21} = -20639, 5274$  N-m.

Mientras que la deformada del bastidor sería

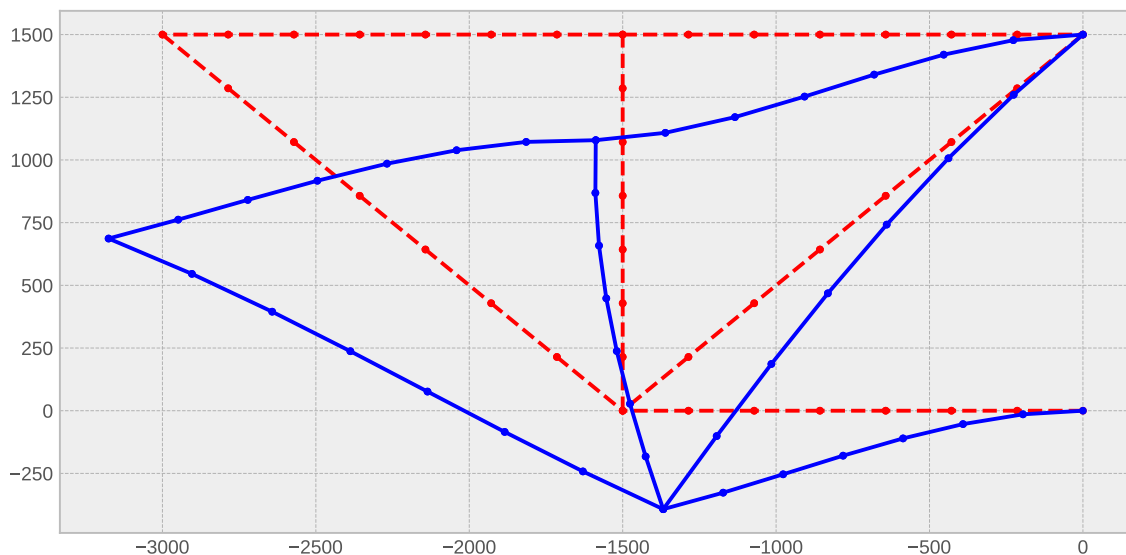


Figura 4: Deformada del bastidor, escala x4000

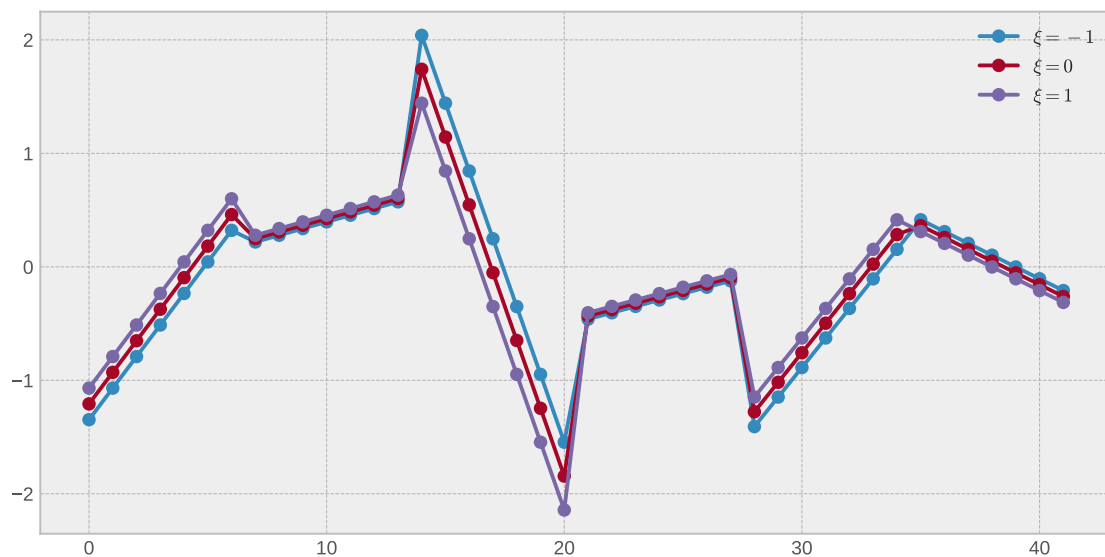


Figura 5: Esfuerzo por flexión sobre los elementos con  $\xi = -1, 0, 1$

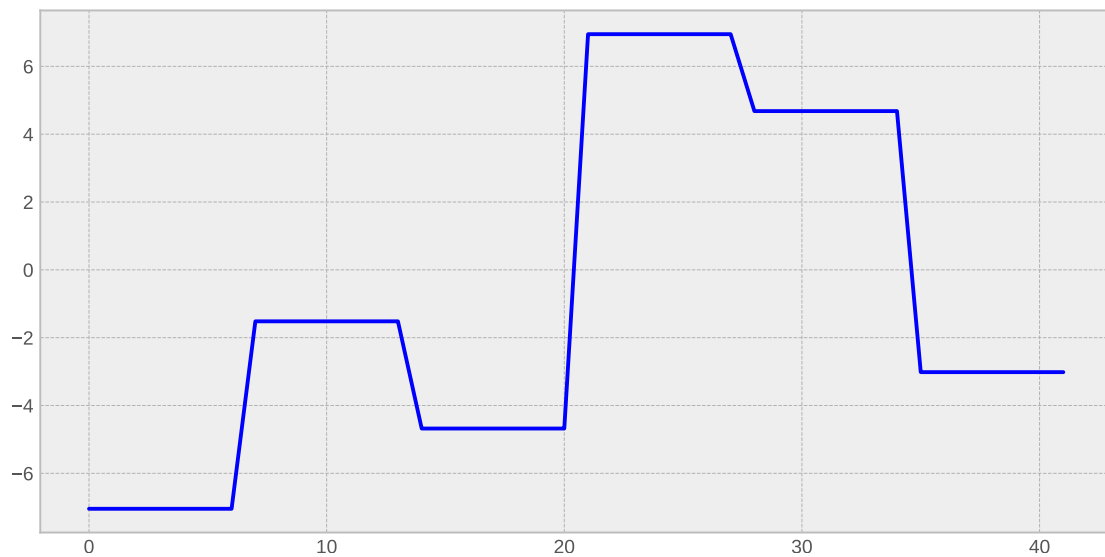


Figura 6: Esfuerzo por tracción sobre los elementos

Organizando las gráficas de esfuerzos en una tabla:

Resultados del análisis por elementos finitos						
Elemento	Nodo 1	Nodo 2	$\sigma_{\text{flexion}} (\xi = -1)$ MPa	$\sigma_{\text{flexion}} (\xi = 0)$ MPa	$\sigma_{\text{flexion}} (\xi = 1)$ MPa	$\sigma_{\text{traccion}}$ MPa
0	0	1	-1.34702	-1.20798	-1.06893	-7.04575
1	1	2	-1.06893	-0.92988	-0.79084	-7.04575
2	2	3	-0.79084	-0.65179	-0.51274	-7.04575
3	3	4	-0.51274	-0.37369	-0.23465	-7.04575
4	4	5	-0.23465	-0.0956	0.04345	-7.04575
5	5	6	0.04345	0.1825	0.32154	-7.04575
6	6	7	0.32154	0.46059	0.59964	-7.04575
7	7	8	0.21903	0.2485	0.27797	-1.51805
8	8	9	0.27797	0.30744	0.33691	-1.51805
9	9	10	0.33691	0.36638	0.39585	-1.51805
10	10	11	0.39585	0.42532	0.45479	-1.51805
11	11	12	0.45479	0.48426	0.51373	-1.51805
12	12	13	0.51373	0.5432	0.57267	-1.51805
13	13	14	0.57267	0.60214	0.63161	-1.51805
14	14	15	2.03972	1.74096	1.4422	-4.67924
15	15	16	1.4422	1.14343	0.84467	-4.67924
16	16	17	0.84467	0.5459	0.24714	-4.67924
17	17	18	0.24714	-0.05162	-0.35039	-4.67924
18	18	19	-0.35039	-0.64915	-0.94791	-4.67924
19	19	20	-0.94791	-1.24668	-1.54544	-4.67924
20	20	21	-1.54544	-1.84421	-2.14297	-4.67924
21	21	22	-0.46111	-0.43299	-0.40486	6.94918
22	22	23	-0.40486	-0.37674	-0.34861	6.94918
23	23	24	-0.34861	-0.32049	-0.29236	6.94918
24	24	25	-0.29236	-0.26424	-0.23612	6.94918
25	25	26	-0.23612	-0.20799	-0.17987	6.94918
26	26	27	-0.17987	-0.15174	-0.12362	6.94918
27	27	7	-0.12362	-0.0955	-0.06737	6.94918
28	14	28	-1.40812	-1.27794	-1.14776	4.68096
29	28	29	-1.14776	-1.01758	-0.88739	4.68096
30	29	30	-0.88739	-0.75721	-0.62703	4.68096
31	30	31	-0.62703	-0.49685	-0.36667	4.68096
32	31	32	-0.36667	-0.23649	-0.10631	4.68096
33	32	33	-0.10631	0.02387	0.15405	4.68096
34	33	34	0.15405	0.28423	0.41441	4.68096
35	34	35	0.41441	0.36243	0.31046	-3.01647
36	35	36	0.31046	0.25848	0.20651	-3.01647
37	36	37	0.20651	0.15453	0.10256	-3.01647
38	37	38	0.10256	0.05058	-0.00139	-3.01647
39	38	39	-0.00139	-0.05337	-0.10534	-3.01647
40	39	40	-0.10534	-0.15732	-0.20929	-3.01647
41	40	7	-0.20929	-0.26127	-0.31324	-3.01647

Cuadro 1: Esfuerzos en los elementos finitos

Las gráficas de esfuerzos y deformaciones en el bastidor:

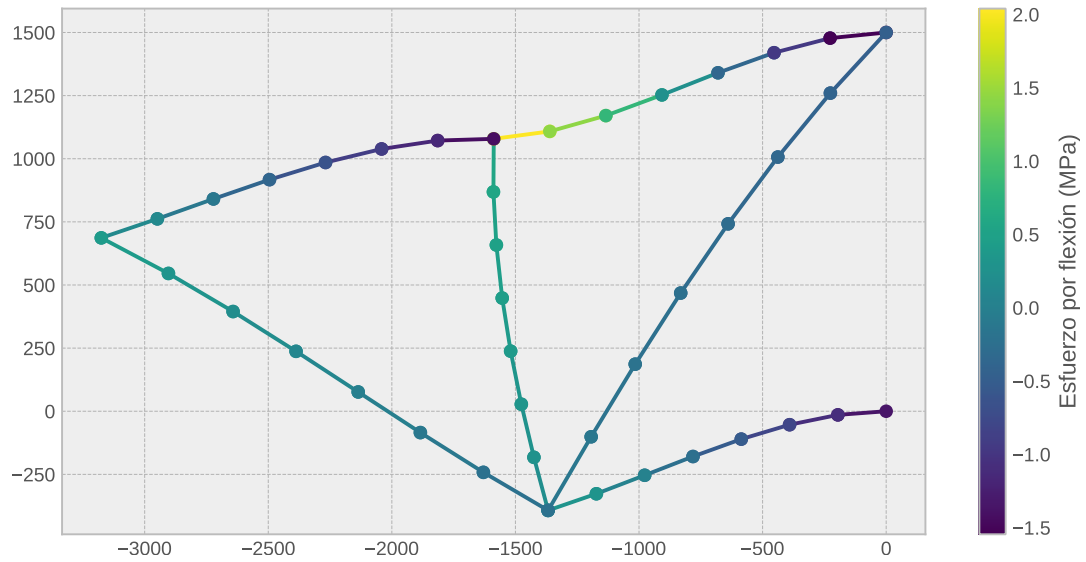


Figura 7: Esfuerzo por flexión

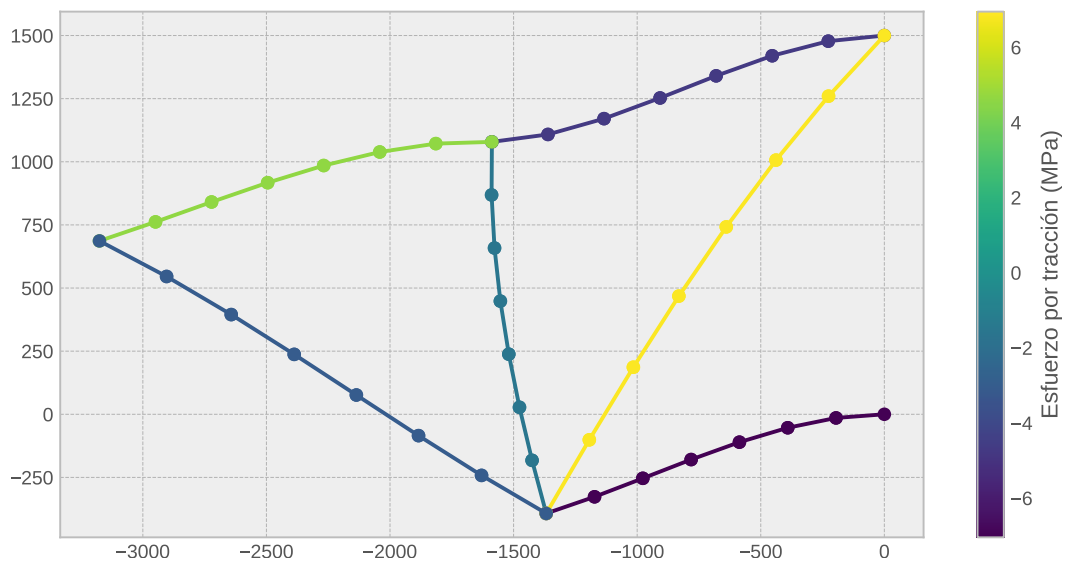


Figura 8: Esfuerzo por tracción

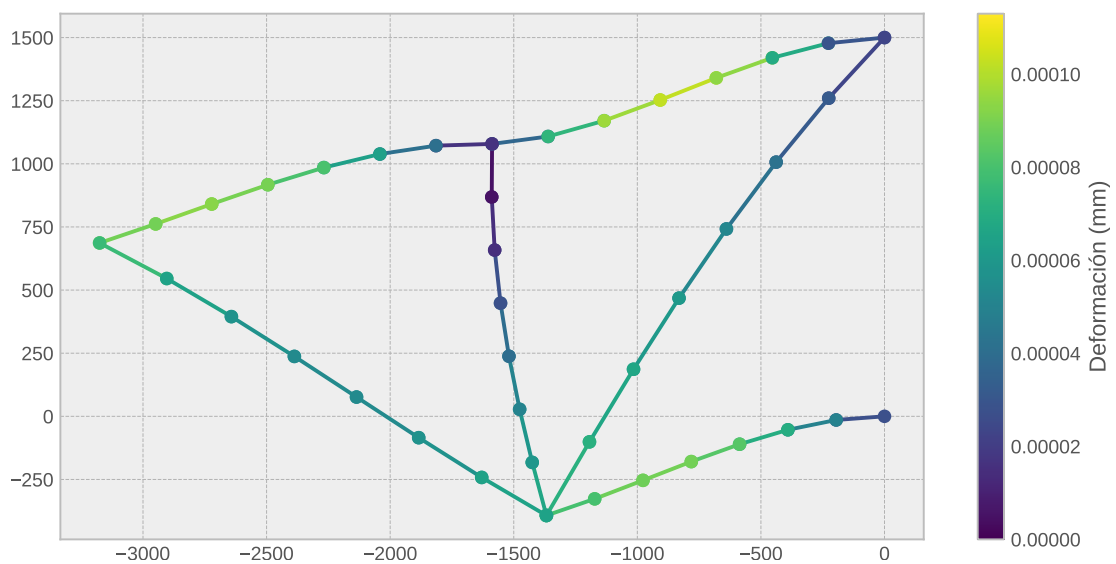


Figura 9: Deformación de los elementos

### 3 Generalización para n elementos

Al incrementar la cantidad de elementos se obtiene mayor información sobre los esfuerzos por flexión en el bastidor y su deformada. Por ejemplo para 1000 elementos en el bastidor, obtenemos la siguiente deformada:

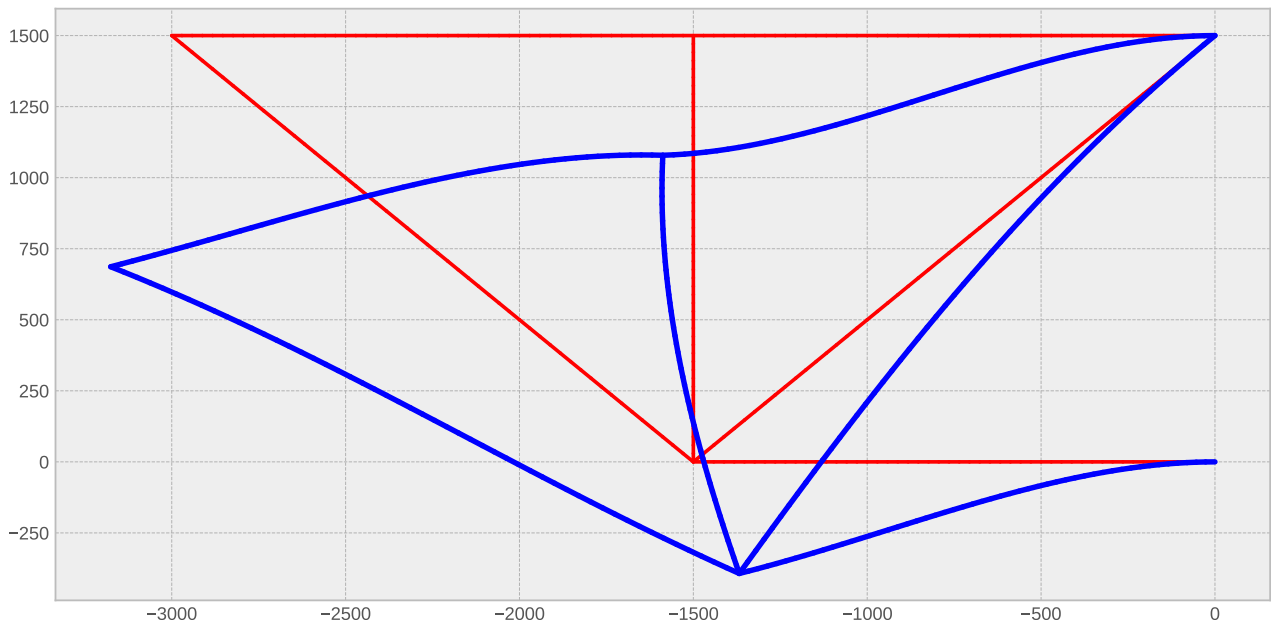


Figura 10: Deformada del bastidor, escala x4000

Mientras que el mapa de calor de la deformación de los elementos sería:

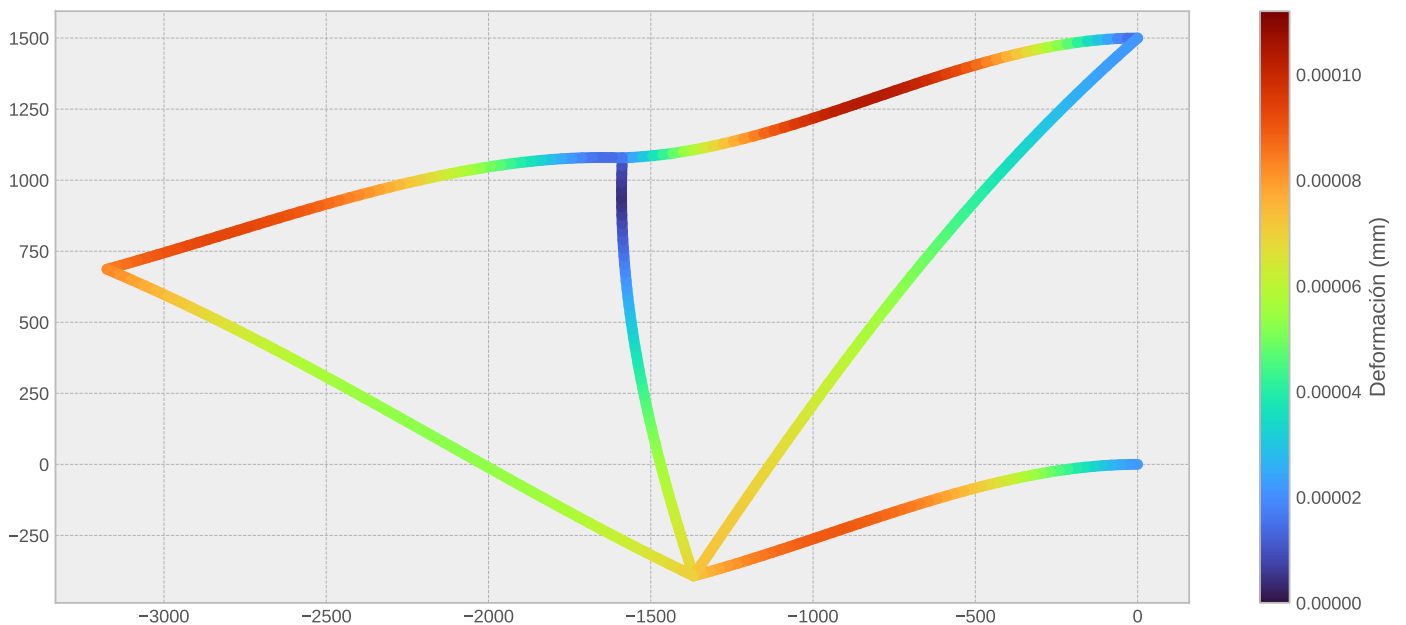


Figura 11: Mapa de calor de la deformación de los elementos

Observamos que la mayor deformación del bastidor ocurre en la parte superior derecha. Esto debido principalmente a la flexión que ocasionan las cargas, esto se detalla en los gráficos de esfuerzo del bastidor:



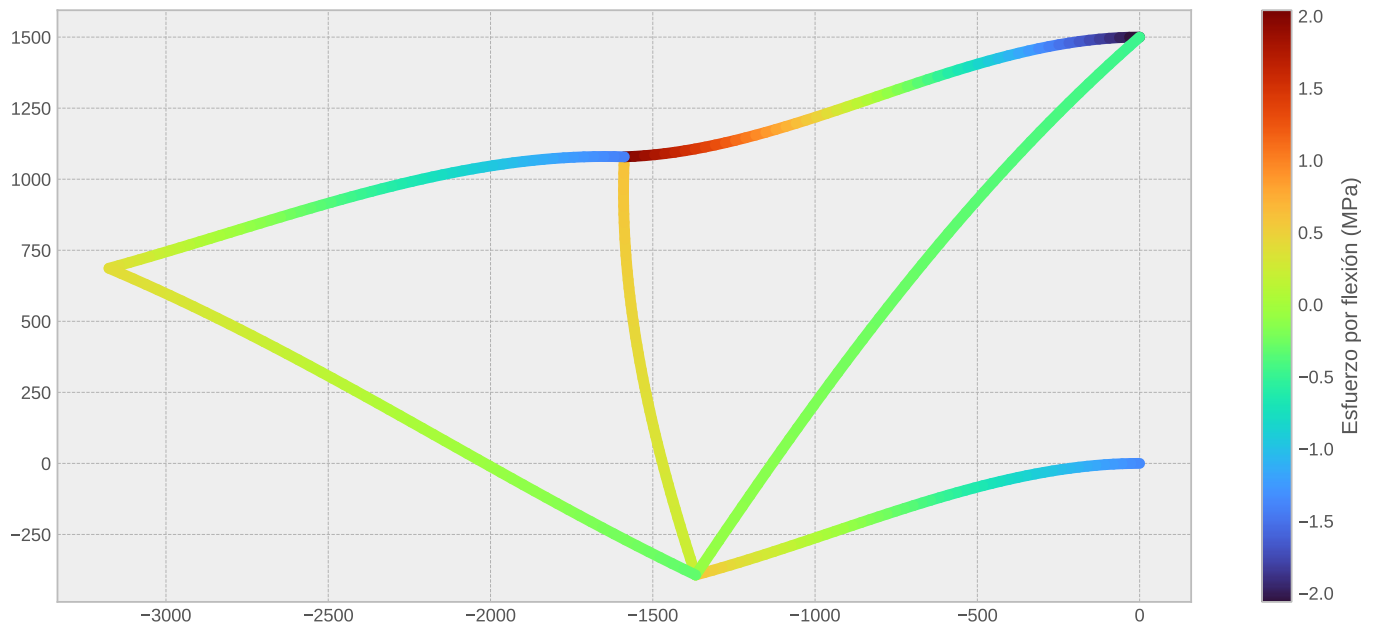


Figura 12: Esfuerzo por flexión

Observamos que efectivamente, el esfuerzo por flexión es mayor en los elementos situados en la parte superior derecha. Teniendo la variación más grande de esfuerzo por flexión en comparación con los demás elementos. Mientras que en la gráfica de esfuerzo por tracción, son todos los elementos de la parte derecha que tienen un esfuerzo igual a  $\pm 6$  MPa.

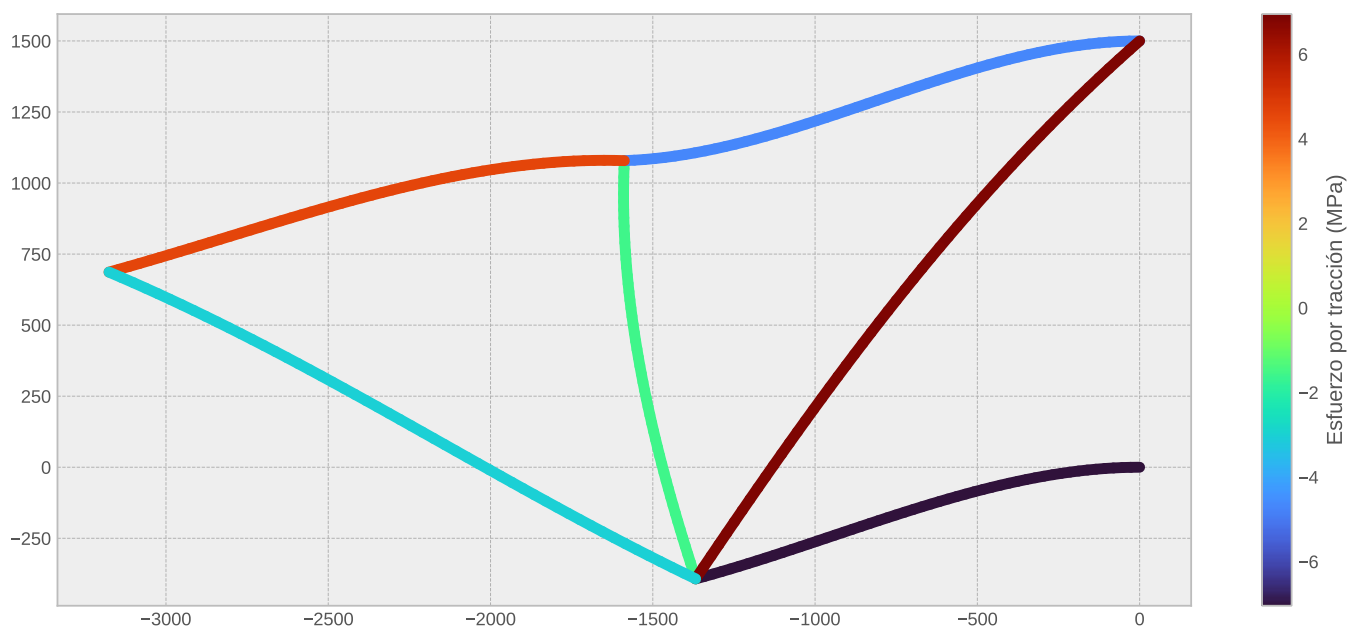


Figura 13: Esfuerzo por tracción

## 4 Verificación de resultados en Autodesk Fusion 360

Se modela el bastidor en Autodesk Fusion 360

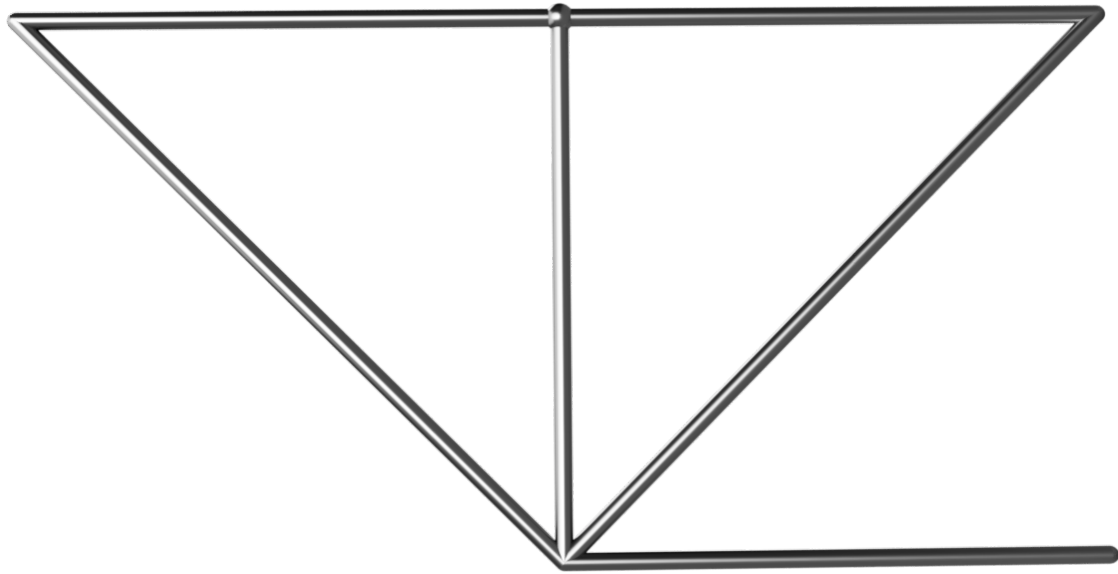


Figura 14: Renderizado de la geometría del bastidor

Posteriormente se simula el bastidor junto a las cargas y el material del problema, y se obtienen los resultados para el esfuerzo.

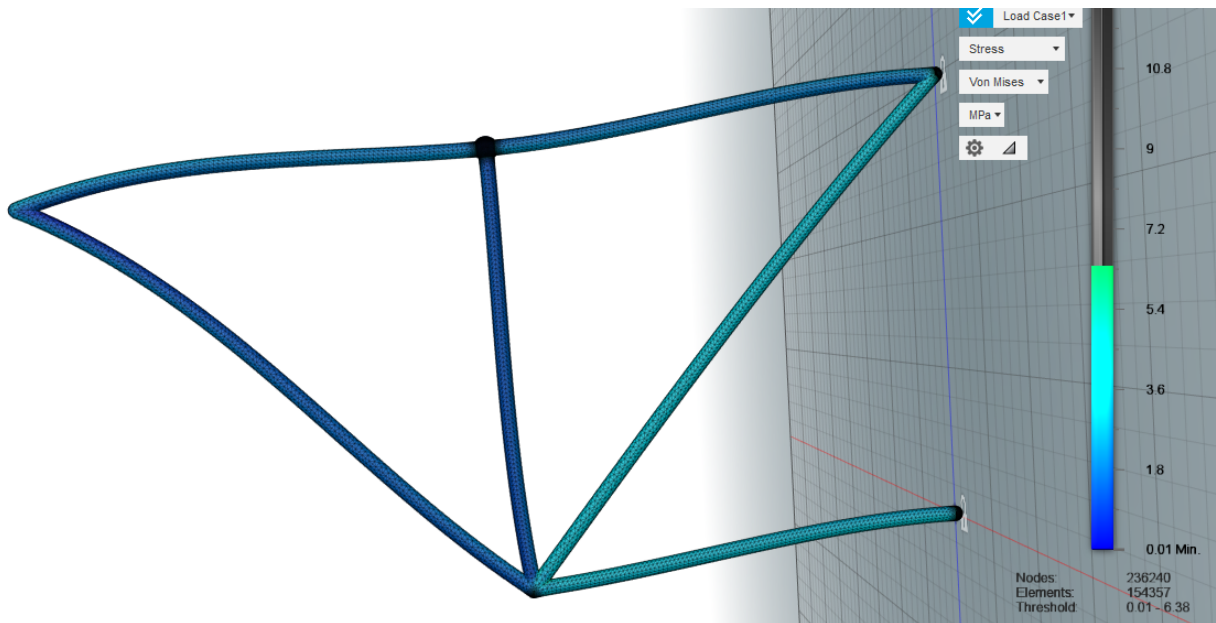


Figura 15: Deformación y flecha máxima de la viga a 493 mm

Observamos que los esfuerzos sobre los elementos del bastidor corresponden a los obtenidos por el código realizado.

## Conclusiones

1. De la tabla de reacciones en los nodos, observamos que dichas reacciones se encuentran en los apoyos, dando como valores  $F_0 = [13834.3002, 15.9261]$  N,  $M_0 = 16530.4809$  N-m,  $F_{21} = [-18834.3002, 9684.0739]$ ,  $M_{21} = -20639, 5274$  N-m.
2. Observamos en la gráfica de esfuerzos por flexión que los valores obtenidos según  $\xi$  son muy cercanos, esto es debido a la condición de continuidad del esfuerzo en un elemento finito. Si se aumentará la cantidad de nodos por elemento del bastidor ( $n$ ) estos esfuerzos deben converger a un único valor para todo  $-1 \geq \xi \leq 1$ .
3. Los resultados obtenidos por el código realizado y la simulación hecha en Autodesk Fusion 360 nos dan resultados similares.
4. Los esfuerzos por tracción, se esperaba que se mantuviesen constante para cada elemento del bastidor, tal como se muestra en la gráfica obtenida.
5. Es necesario añadir por lo menos un nodo en cada elemento del bastidor para apreciar como se deforma por la flexión.
6. El parámetro  $n$  del código indica la cantidad de nodos a utilizar por cada elemento del bastidor. Esto nos permite poder modificar la cantidad total de elementos y la precisión de los resultados de forma rápida.

## Referencias

- [1] Optimized methods in FEM:  
<https://www.sciencedirect.com/topics/engineering/gauss-seidel-method>
- [2] Sparse Matrix:  
[https://en.wikipedia.org/wiki/Sparse\\_matrix](https://en.wikipedia.org/wiki/Sparse_matrix)
- [3] Sparse Matrix Library:  
<https://github.com/uestla/Sparse-Matrix>
- [4] Mailman algorithm:  
<http://www.cs.yale.edu/homes/el327/papers/matrixVectorApp.pdf>
- [5] Fast Algorithms with Preprocessing for Matrix-Vector Multiplication Problems:  
<https://www.sciencedirect.com/science/article/pii/S0885064X84710211>